



Universitat Oberta  
de Catalunya

Elementos Finitos y Diferencias Finitas - PEC 2

Juan José Rodríguez Aldavero  
November 4, 2020

# Contents

<b>1</b>	<b>Método de Elementos Finitos</b>	<b>ii</b>
1.a	Cálculo de aproximaciones $L^2$ . . . . .	ii
1.b	Resolución del problema elíptico unidimensional . . . . .	vii

# 1 | Método de Elementos Finitos

## 1.a Cálculo de aproximaciones $L^2$

En este problema vamos a calcular las aproximaciones  $L^2$  de un conjunto de funciones:

A.  $f(x) = 1 + 2x$

B.  $g(x) = x^3(x - 1)(1 - 2x)$

C.  $h(x) = \arctan[(x - 0.5)/\epsilon]$  para  $\epsilon = 0.1, 0.01$

todas ellas en el intervalo  $I = [-1, 1]$  con  $n = 25$  y  $n = 100$  subintervalos. También calcularemos el error asociado a cada proyección.

Para dar un poco de contexto, la aproximación  $L^2$  de una función  $f$ , dada por  $P_h f$ , es la proyección sobre el espacio de funciones lineales a trozos  $V_h$  tal que el error,  $f - P_h f$  minimize la norma  $L^2$  dada por:

$$\|f - P_h f\|_{L^2(I)} = \left( \int_I (f - P_h f)^2 dx \right)^{1/2}$$

Es decir, es una proyección tal que minimiza el "error promedio" con respecto a la función original.

Su cálculo se puede realizar utilizando un cambio de variables a "variables sombrero" (*hat functions*):

$$\varphi_j(x_i) = \begin{cases} 1, & \text{si } i = j \\ 0, & \text{si } i \neq j \end{cases}, \quad i, j = 0, 1, \dots, n$$

tales que

$$P_h f = \sum_{j=0}^n \xi_j \varphi_j$$

donde los coeficientes  $\xi_j$  vienen dados por un sistema de ecuaciones lineales en términos de una matriz  $M$  (*mass matrix*) y un vector  $b$  (*load vector*) que pueden ser calculados de antemano:

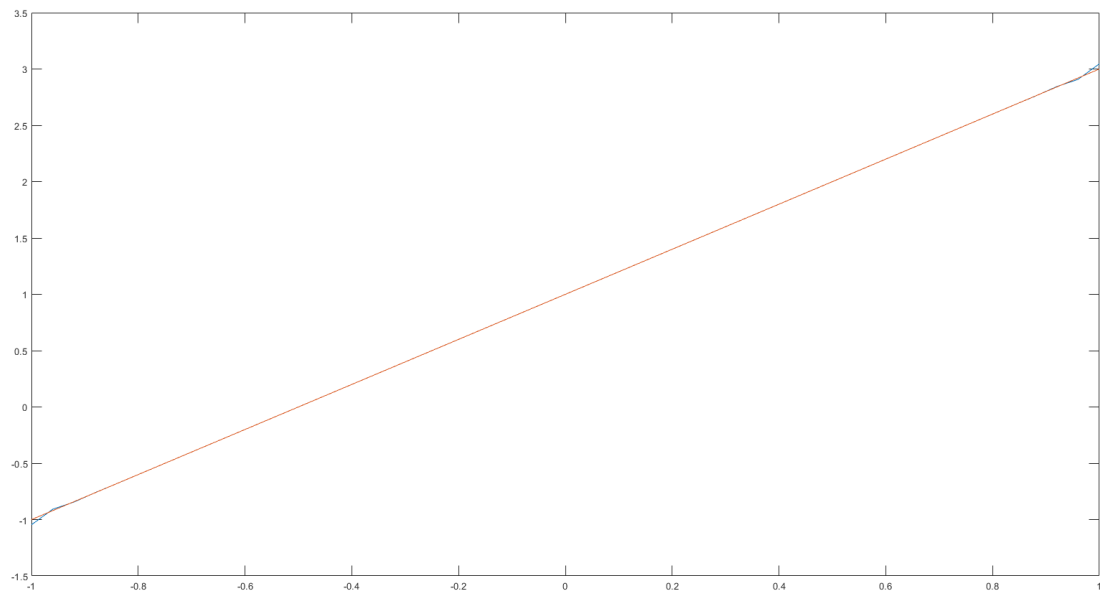
$$M\xi = b$$

$$M_{ij} = \int_I \varphi_j \varphi_i dx, \quad b_i = \int_I f \varphi_i dx, \quad i, j = 0, 1, \dots, n,$$

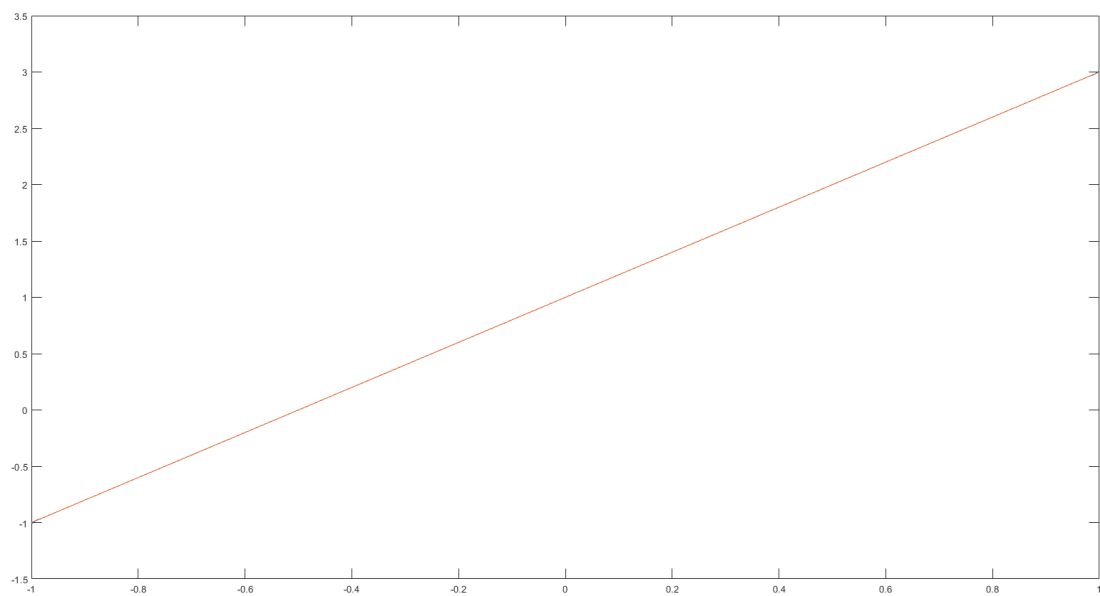
los problemas numéricos vendrán dados por el cálculo de las integrales y la resolución del sistema lineal de ecuaciones. Las integrales se resolverán mediante métodos basados en interpolantes lineales para el *load vector* y mediante el método numérico de Simpson para la *mass matrix*, que es más preciso y aproxima la integral entre  $x_0$  y  $x_1$ .

En definitiva, podemos reciclar las funciones presentes en el libro de la asignatura realizando los cambios pertinentes. Las funciones **MassAssembler1D(x)** y **LoadAssembler1D(x,f)** pueden ser reutilizadas sin cambios, y la función **L2Projector1D()** puede ser reutilizada cambiando únicamente la función  $f$  sobre la que actúa, el intervalo  $I$  y el número de subintervalos  $n$ . Los resultados son:

A.  $f(x) = 1 + 2x$

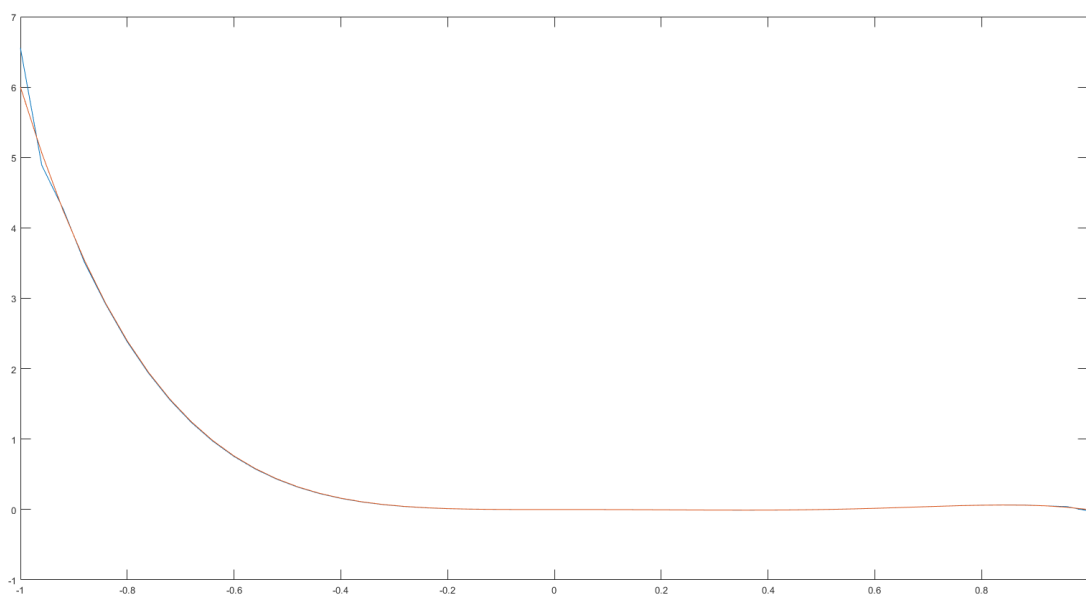


*Figure 1.1: Resultado para  $n = 25$*

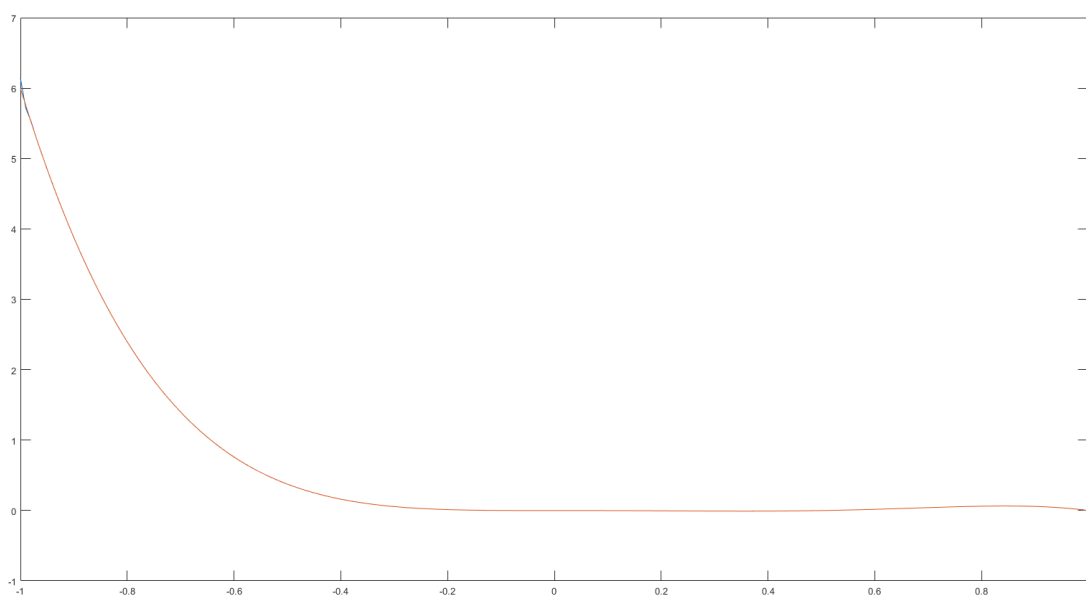


*Figure 1.2: Resultado para  $n = 100$*

B.  $g(x) = x^3(x-1)(1-2x)$

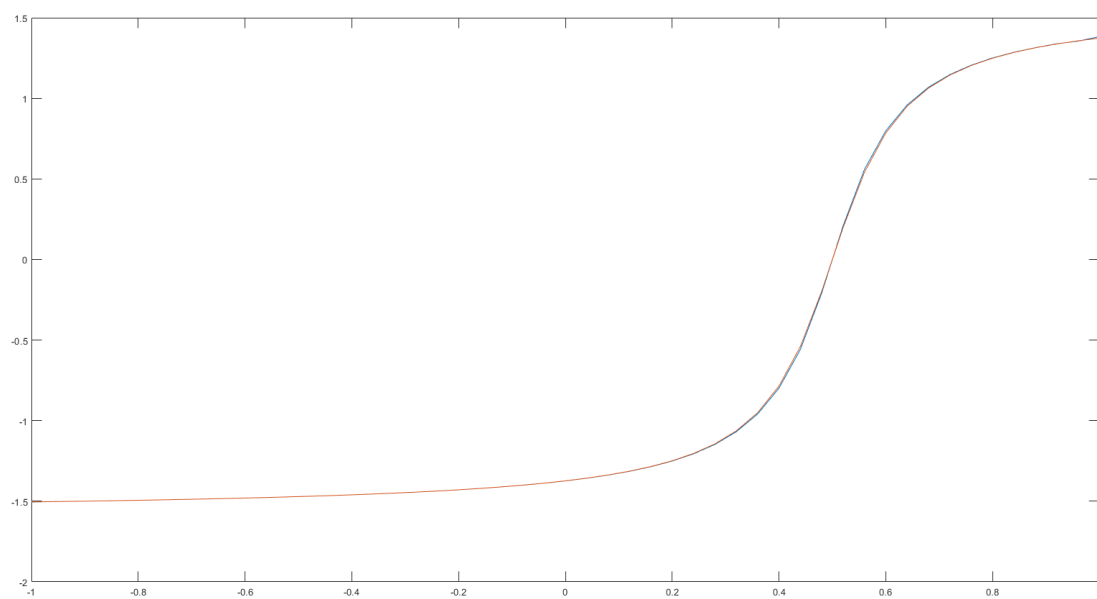


*Figure 1.3: Resultado para  $n = 25$*

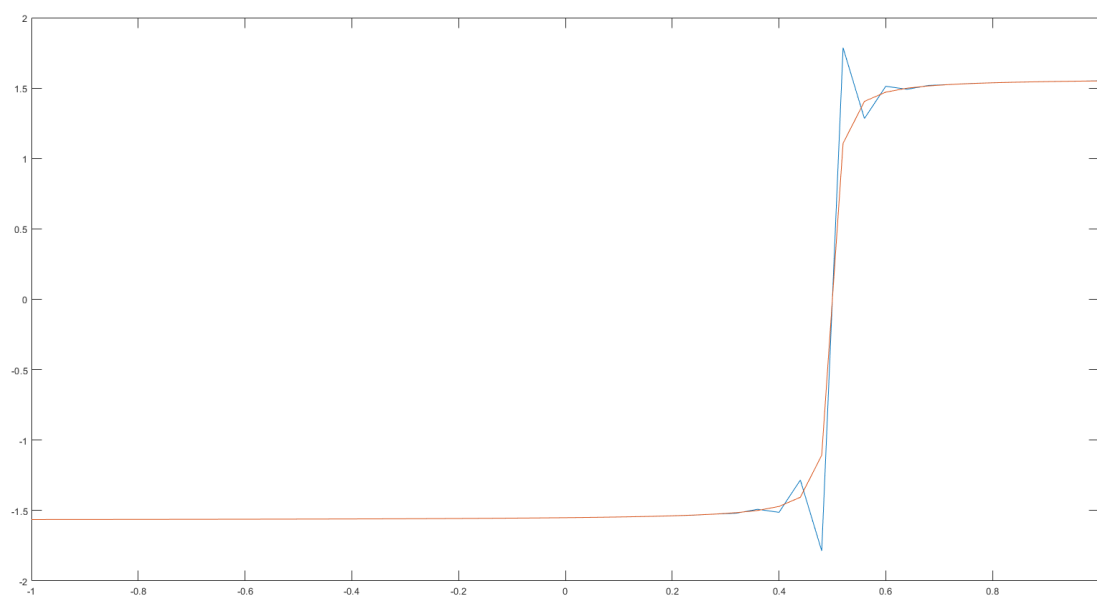


*Figure 1.4: Resultado para  $n = 100$*

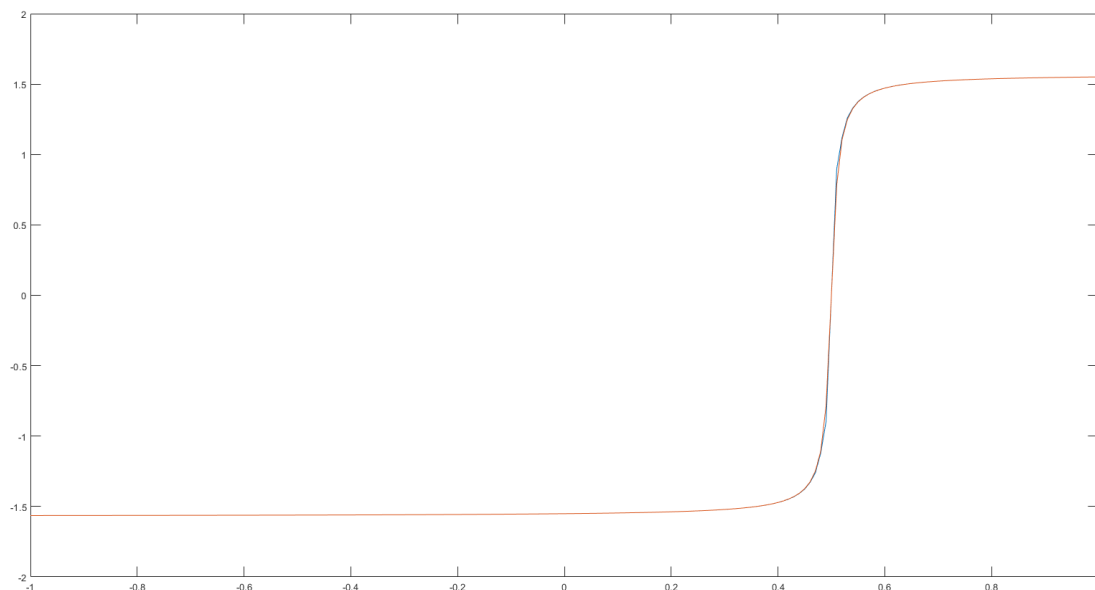
C.  $h(x) = \arctan [(x - 0.5)/\epsilon]$  para  $\epsilon = 0.1, 0.01$



*Figure 1.5: Resultado para  $n = 25$ ,  $\epsilon = 0.1$*



*Figure 1.6: Resultado para  $n = 25$ ,  $\epsilon = 0.01$*



**Figure 1.7:** Resultado para  $n = 100$ ,  $\epsilon = 0.01$

Vemos como la aproximación se asemeja mucho a la función original, aún para intervalos grandes con  $n = 25$ , sobretodo para las dos primeras funciones. En las figuras 1.1 y 1.3 vemos algunas desviaciones en los extremos de las curvas para  $n = 25$ , que desaparecen al hacer  $n = 100$ .

En la figura 1.6 vemos como para  $\epsilon = 0.01$  y  $n = 25$  la proyección no resulta del todo precisa, posiblemente debido a la elevada pendiente de la curva con respecto al número de divisiones, pero esto desaparece al hacer  $n = 100$  en la figura 1.7.

Respecto a los errores cometidos en las aproximaciones, sabemos por la teoría que existe una cota máxima dada por:

$$\|f - P_h f\|_{L^2(I)} \leq Ch^2 \|f''\|_{L^2(I)}$$

donde  $C$  es una constante y:

$$\|f''\|_{L^2(I)} = \sqrt{\int_I f''(x) dx}$$

por lo que obtenemos los siguientes valores:

- $\|f_A - P_h f_A\|_{L^2(I)} \leq 0$
- $\|f_B - P_h f_B\|_{L^2(I)} \leq \sqrt{24} Ch^2$
- $\|f_C - P_h f_C\|_{L^2(I)} \leq \sqrt{\frac{\epsilon}{(0.25+\epsilon^2)(2.25+\epsilon^2)}} Ch^2$

vemos como en todos los casos tienden a cero cuando  $h \rightarrow 0$ . Para  $f_C$  vemos como el error puede hacerse arbitrariamente alto para  $\epsilon \rightarrow 0$

## 1.b Resolución del problema elíptico unidimensional

Continuamos el entregable resolviendo problemas elípticos unidimensionales. En su forma más general, con coeficientes variables y con condiciones de contorno de Von-Neumann toman la forma:

$$\begin{aligned} -(au')' + bu' + cu &= f, \quad x \in I = [0, L] \\ au'(0) &= \kappa_0 (u(0) - g_{0D}) + g_{0N} \\ -au'(L) &= \kappa_L (u(L) - g_{LD}) + g_{LN} \end{aligned} \quad (1.1)$$

donde  $a, b, c$  y  $f$  son funciones de  $x$  lo suficientemente suaves.

De manera general, para plantear un problema de elementos finitos, es necesario transformar la ecuación en derivadas parciales a una **formulación variacional**. Esto se hace multiplicando la ecuación por una "función test",  $v$ , que cumpla las mismas condiciones de contorno que nuestro problema, integrando sobre todo el dominio e imponiendo que se cumpla una identidad integral entre la solución,  $u(x)$  y  $v$  para todos los posibles valores de  $v$ .

Después, se toma la aproximación de elementos finitos suponiendo que  $u(x)$  pertenece al espacio de funciones lineales a trozos, es decir, aproximando  $u$  por  $u_h \in V_h$ .

Por último, se resuelve el problema variacional de manera análoga a como se hizo en el ejercicio anterior, desarrollando  $u_h$  en la base formada por las funciones  $\{\varphi_i\}_{i=0}^n$ .

$$u_h = \sum_{j=0}^n \xi_j \varphi_j$$

donde podemos calcular los distintos coeficientes  $\xi_j$  resolviendo un problema de ecuaciones lineales que dependerá de la forma de la ecuación y cuyos componentes vendrán dados por integrales que habrá que calcular numéricamente.

Por ejemplo, para problema planteado por el libro (ecuación elíptica coeficientes variables), el sistema lineal vendrá dado por:

$$(A + R)\xi = b + r$$

donde:

$$\begin{aligned} A_{ij} &= \int_I a \varphi_j' \varphi_i' dx && \text{stiffness matrix} \\ b_i &= \int_I f \varphi_i dx && \text{load vector} \\ R_{ij} &= \kappa_L \varphi_j(L) \varphi_i(L) + \kappa_0 \varphi_j(0) \varphi_i(0) \\ r_i &= \kappa_L g_L \varphi_i(L) + \kappa_0 g_0 \varphi_i(0) \end{aligned}$$

El libro de la asignatura proporciona unas funciones **StiffnessAssembler1D** y **SourceAssembler1D** que utilizan el método del punto medio y que podemos reciclar para calcular numéricamente problemas elípticos de contorno. En nuestro caso, añadiremos términos adicionales que tendrán que ser incorporados a los algoritmos encontrados en el libro.

A. Escribir la ecuación variacional necesaria para resolver numéricamente el problema (1.1)



Planteando el método variacional:

$$\int_0^L f v dx = \int_0^L (-(au')' + (bu)' + cu) v dx$$

donde por simplicidad hemos hecho el cambio  $bu' \rightarrow (bu)'$  para simplificar algunos cálculos (que es sin pérdida de generalidad ya que solo haría falta adaptar el resto de coeficientes), obtenemos el resultado:

$$\int_0^L f v dx = \int_0^L [(au_h' - bu_h)v' + cu_h v] dx + C \quad (1.2)$$

donde

$$C = v(L) [u(L)(\kappa_L + b(L)) - \kappa_L g_{LD} + g_{LN}] + v(0) [u(0)(\kappa_0 - b(0)) - \kappa_0 g_{0D} + g_{0N}]$$

se corresponde con las condiciones de contorno sustituyendo  $u'(0)$  y  $u'(L)$ . Los cálculos están hechos en detalle en el anexo.

## B. Resolver numéricamente el problema

$$\begin{aligned} u'' + u &= x^2, x \in I = [0, 1] \\ u(0) &= 0 \\ u(1) &= 0 \end{aligned} \quad (1.3)$$

y comparar con la solución exacta

$$u(x) = \frac{\sin x + 2 \sin(1-x)}{\sin 1} + x^2 - 2$$

Una vez tenemos el caso general, podemos aplicarlo a cada problema particular haciendo los cambios correspondientes. Para este problema, obtenemos el esquema de elementos finitos:

$$\int_0^L f v dx = \int_0^L (u_h' v' + u_h v) dx + \kappa [v(L)u(L) + v(0)u(0)] \quad (1.4)$$

donde para conseguir las condiciones de contorno se ha tenido que hacer  $\kappa_0 \rightarrow \infty$ ,  $\kappa_L \rightarrow \infty$ ,  $g_{0D} = g_{0N} = g_{LD} = g_{LN} = 0$ . En término de las funciones sombrero  $\phi_i$  queda:

$$b_i = \sum_{j=0}^n \xi_j [A_{ij} + B_{ij} + R_{ij}]$$

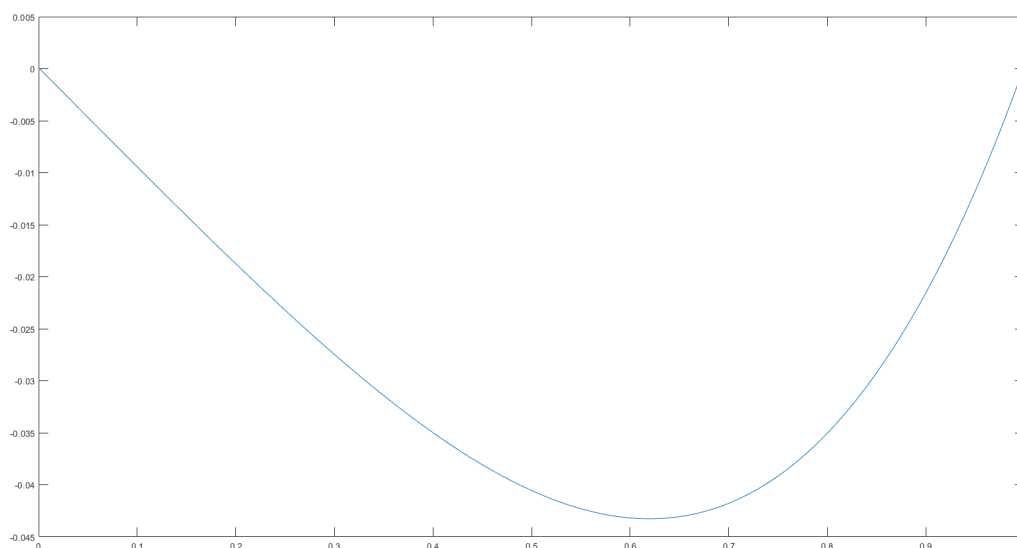
donde

$$B_{ij} = \int_0^L u_h v dx = \int_I \phi_j \phi_i dx$$

es un término nuevo que hay que implementar computacionalmente. Haciendo los cálculos en el anexo vemos como es una matriz diagonal por bloques, donde cada bloque  $\{B_{ii}\}$  toma la forma:

$$\{B_{ii}\} = \frac{(\Delta x)^3}{6h^2} \begin{pmatrix} 4 & 1 \\ 1 & 4 \end{pmatrix}$$

por lo que es muy sencilla de implementar, y el resto de objetos se pueden aprovechar del ejemplo del libro. El resultado de los elementos finitos es:

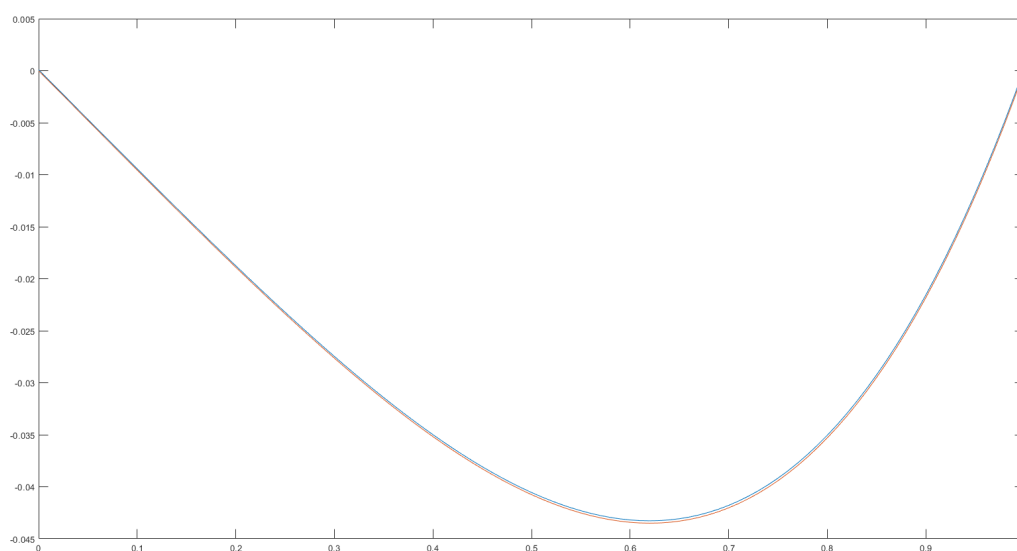


**Figure 1.8:** Resultado de los elementos finitos para el problema 1.3 para una malla de  $h = 0.01$

Comparándola con la solución exacta, dada por

$$u(x) = \frac{\sin x + 2 \sin(1-x)}{\sin 1} + x^2 - 2$$

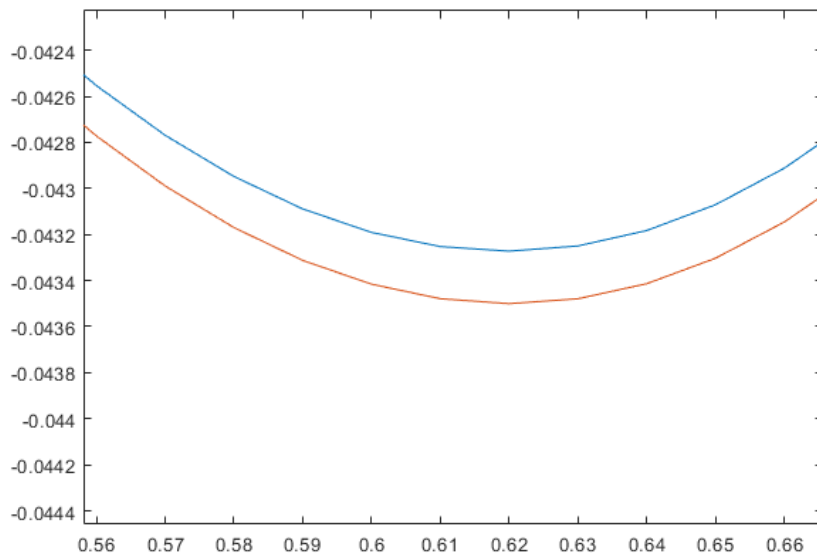
tenemos:



**Figure 1.9:** Resultado de los elementos finitos junto con la solución exacta

La solución encontrada es muy parecida a la exacta. Informalmente, vemos como el error

producido es del orden de  $10^{-4}$ :



*Figure 1.10: Errores entre la solución exacta y la calculada por elementos finitos*

### C. Resolver numéricamente el problema

$$\begin{aligned} u'' + u' - 2u &= x, x \in I = [0, 1] \\ u(0) &= 0 \\ u'(1) &= 1 \end{aligned} \quad (1.5)$$

De nuevo, haciendo los cambios correspondientes obtenemos el esquema:

$$\int_0^L f v dx = \int_0^L (-u_h' - u_h) v' - 2u_h v dx + C \quad (1.6)$$

donde

$$C = \kappa_L v(L)u(L) + \kappa_0 v(0)u(0) + v(L)u(L) - v(0)u(0) + v(L) - v(0)$$

y se han tenido que hacer los cambios  $\kappa_0 \rightarrow \infty$ ,  $\kappa_L \rightarrow 0$ ,  $g_{0D} = g_{0N} = g_{LN} = 0$ ,  $g_{LD} \rightarrow \infty$ .

En términos de las variables sombrero  $\phi_i$  nos queda:

$$b_i - r_i' = \sum_{j=0}^n \xi_j [-A_{ij} - 2B_{ij} - C_{ij} + R_{ij} + R_{ij}']$$

donde

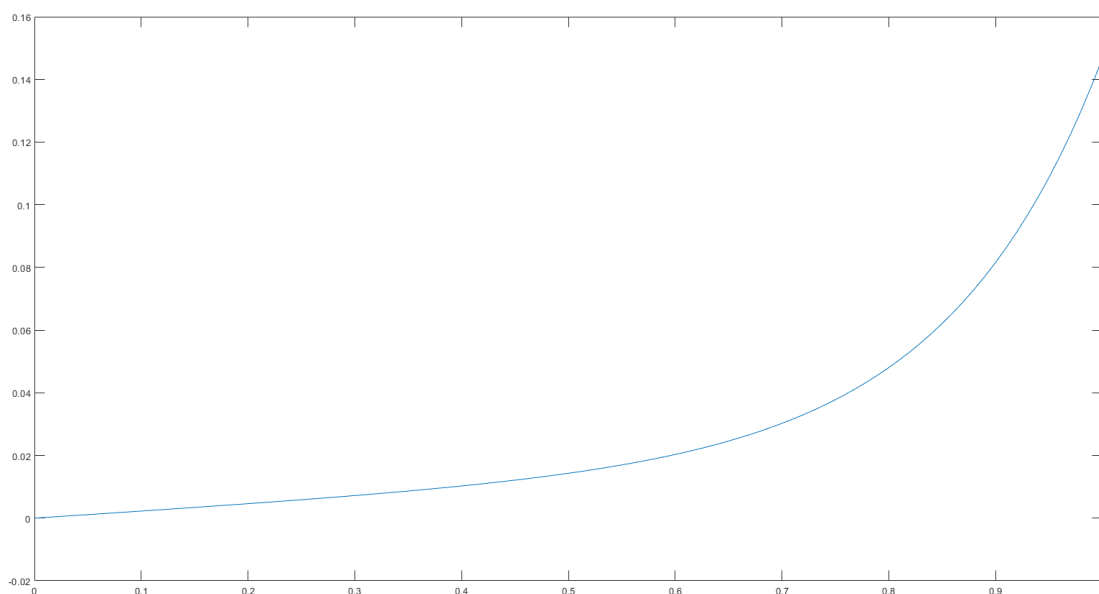
$$\begin{aligned} C_{ij} &= \int_I \phi_j \phi_i' dx \\ R_{ij}' &= v(L)u(L) - v(0)u(0) \\ r_i' &= v(L) - v(0) \end{aligned}$$

y se ve en el anexo que puede ser calculada como una matriz diagonal por bloques donde cada bloque toma la forma:

$$C_{ii} = \frac{(\Delta x)^2}{2h^2} \begin{pmatrix} 1 & -1 \\ -1 & 1 \end{pmatrix}$$

y los objetos  $R'_{ij}$  y  $r'_i$  pueden ser absorbidos fácilmente dentro de  $R_{ij}$  y  $r_i$  lo que permite reutilizar el código planteado en el libro.

El resultado de este esquema de elementos finitos es:

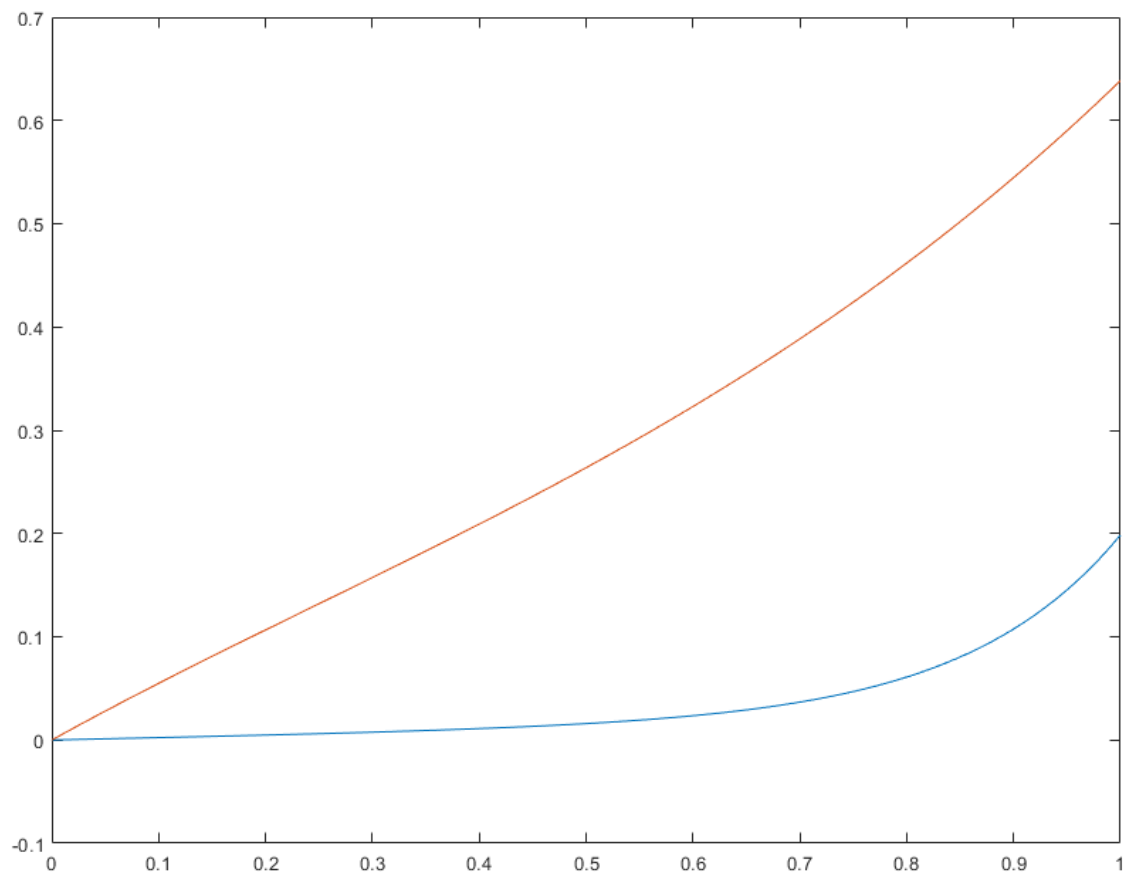


**Figure 1.11:** Resultado de los elementos finitos para el problema 1.5 para una malla de  $h = 0.01$

Podemos calcular la solución exacta del problema 1.5 con Mathematica, que es:

$$u(x) = \frac{1}{4} \left[ -1 - 2x + \frac{e^{-2x} ((e - 6)e^2 + 2e^{3x}(1 + 3e^2))}{2 + e^3} \right]$$

comparando la solución obtenida con la exacta tenemos:



**Figure 1.12:** Comparación entre la solución de elementos finitos y la exacta para el problema 1.5

Vemos como la función calculada no se asemeja a la solución exacta, posiblemente por algún error de cálculo, aunque sí que conseguimos capturar el comportamiento en los extremos de la función, con la condición de contorno de Dirichlet y de Neumann.